

МАТЕМАТИЧНЕ МОДЕЛЮВАННЯ КОНТАКТНОЇ
ВЗАЄМОДІЇ ДВОХ ПРУЖНИХ ТРАНСВЕРСАЛЬНО-
ІЗОТРОПНИХ ПІВПРОСТОРІВ, ОДИН З ЯКИХ МІСТИТЬ
ПРИПОВЕРХНЕВУ ВІЙМКУ ЕЛІПТИЧНОГО ПЕРЕРІЗУ

В.С. КИРИЛЮК, О.І. ЛЕВЧУК, В.В. ГАВРИЛЕНКО

Анотація. На основі математичної моделі розглянуто задачу про стискання двох пружних трансверсально-ізотропних півпросторів, один з яких містить похилу приповерхневу виїмку еліптичного перерізу. Розв'язок задачі отримано за допомогою подання Еліота для трансверсально-ізотропного тіла через гармонічні функції, класичних гармонічних потенціалів та зведення граничної задачі до розгляду інтегро-диференціального рівняння з невідомою областю інтегрування. Як частинний випадок зі знайдених аналітичних виразів впливають основні параметри контакту трансверсально-ізотропних півпросторів за наявності в одному з них виїмки вісесиметричної форми, а також параметри контактної взаємодії двох пружних ізотропних півпросторів, один з яких містить виїмку еліптичного перерізу. Отримано числові результати, вивчено вплив пружних властивостей півпросторів, геометричних параметрів виїмки та навантаження на контактну взаємодію та закриття зазору між тілами.

Ключові слова: математичне моделювання, трансверсально-ізотропний півпростір, приповерхнева виїмка, еліптичний переріз, параметри контактної взаємодії.

ВСТУП

Під час проектування елементів конструкцій широко застосовуються біматеріали, складові яких мають різні пружні властивості, у тому числі анізотропні. Це стимулює дослідження і аналіз розподілу напружень у пружних тілах з біматеріалів поблизу концентраторів напружень, а також у разі їх контактної взаємодії. Водночас розв'язання просторових задач теорії пружності для анізотропних тіл ускладнюється, оскільки у цьому випадку необхідно розв'язувати граничну задачу для системи рівнянь рівноваги анізотропного тіла, яка має суттєво більш складну структуру (порівняно з відповідною системою рівнянь для ізотропного пружного тіла).

Для трансверсально-ізотропних пружних та електропружних тіл з концентраторами напружень з більшою глибиною досліджено двовимірні задачі [9, 16, 17, 27]. Подання загальних розв'язків систем рівнянь рівноваги у тривимірній постановці для трансверсально-ізотропних пружних та електро-

пружних тіл через гармонічні функції запропоновано у працях [11] і [24, 28] відповідно. Цікаві результати досліджень напруженого стану у просторових задачах для трансверсально-ізотропних пружних та електропружних тіл отримано у працях [1, 3, 4–6, 8, 10–12, 15, 18, 22, 23, 26] та [2, 7, 19, 20, 24, 29].

Відзначимо, що задачі контактної взаємодії для двох пружних ізотропних півпросторів за стискання через наявність між півпросторами включень чи похилої приповерхневої виїмки еліптичного перерізу досліджувались у працях [14, 21, 25]. Але задача контактної взаємодії для двох пружних трансверсально-ізотропних півпросторів за наявності в одному з них приповерхневої виїмки еліптичного перерізу не вивчалась.

У цій роботі за допомогою математичного моделювання на основі строгої моделі досліджено контактну взаємодію двох пружних трансверсально-ізотропних півпросторів, один з яких містить приповерхневу виїмку еліптичного перерізу, під час стискання. У постановці задачі припускається, що поверхня поділу двох пружних тіл розташована у площині ізотропії трансверсально-ізотропних матеріалів. Також вважається, що між тілами відбувається гладкий (без тертя) контакт. За допомогою подання розв'язку рівнянь рівноваги для трансверсально-ізотропного тіла через гармонічні функції (подання Еліота) і подальшого зведення задачі до розгляду інтегродиференціального рівняння отримано аналітичний розв'язок задачі. Знайдено основні параметри контактної взаємодії трансверсально-ізотропних пружних півпросторів (за наявності в одному з них приповерхневої виїмки еліптичного перерізу) під час стискання. Як частинний випадок з отриманих виразів впливають параметри контактної взаємодії двох трансверсально-ізотропних пружних півпросторів за наявності в одному з них виїмки кругового перерізу, а також параметри контакту двох ізотропних пружних півпросторів, один з яких містить виїмку еліптичного перерізу.

Постановка задачі. Розглянемо математичну модель, на основі якої вивчимо контактну взаємодію трансверсально-ізотропних пружних півпросторів, один з яких (тіло 2) містить приповерхневу виїмку еліптичного перерізу (рис. 1). Припускаємо, що форма виїмки описується таким виразом:

$$f_0(x, y) = \begin{cases} -h_0(1 - x^2/a_0^2 - y^2/b_0^2)^{3/2}, & \sqrt{x^2/a_0^2 + y^2/b_0^2} \leq 1, \quad (h_0 \ll \max(a_0, b_0)), \\ 0, & \sqrt{x^2/a_0^2 + y^2/b_0^2} > 1. \end{cases} \quad (1)$$

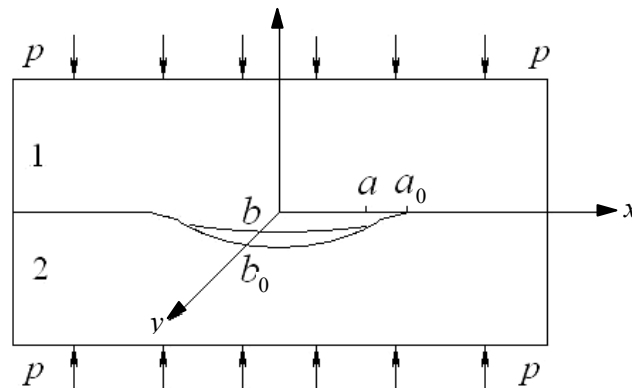


Рис. 1. Контактна взаємодія трансверсально-ізотропних пружних півпросторів, один з яких містить приповерхневу виїмку еліптичного перерізу

z

Розглядаючи задачу, будемо вважати, що площина контакту пружних трансверсально-ізотропних півпросторів розташована у площині ізотропії обох трансверсально-ізотропних матеріалів. Припускаємо, що до контактуючих тіл прикладено стискальні зусилля p і між тілами відбувається гладкий (без тертя) контакт. За наявності виїмки контакт між тілами здійснюється не по всій площині $z = 0$, а по деякій її частині $\sqrt{x^2/a^2 + y^2/b^2} > 1$, де a, b — невідомі параметри ділянки еліптичної форми (рис. 1), які залежать від значення стискальних зусиль p , геометрії початкової виїмки (описується параметрами a_0, b_0 і h_0), пружних властивостей обох трансверсально-ізотропних матеріалів півпросторів. Припускаємо, що у процесі деформування виїмка набуває вигляду, який можна описати у вигляді

$$f(x, y) = \begin{cases} -h(1 - x^2/a^2 - y^2/b^2)^{3/2}, & x^2/a_0^2 + y^2/b^2 \leq 1, (h_0 \ll \max(a, b)), \\ 0, & x^2/a_0^2 + y^2/b^2 > 1. \end{cases}$$

На поверхні поділу (у площині $z = 0$) отримуємо такі граничні умови:

$$\sigma_{zz}^{(i)} = 0, x^2/a^2 + y^2/b^2 \leq 1;$$

$$u_z^{(1)} = u_z^{(2)} + f_0(x, y), x^2/a^2 + y^2/b^2 > 1 \quad (i=1, 2);$$

$$\sigma_{zx}^{(i)} = \sigma_{zy}^{(i)} = 0, z = 0; \sigma_{zz}^{(1)} = \sigma_{zz}^{(2)}, x^2/a^2 + y^2/b^2 > 1 \quad (i=1, 2). \quad (2)$$

У граничних умовах (2) індекси 1 і 2 відповідають першому та другому пружним півпросторам, а також використовується функція, що описується виразом (1).

Припускаємо, що площина $z = 0$ (рис. 1), яка обмежує два півпростори, є площиною ізотропії обох трансверсально-ізотропних матеріалів, тобто вісь Oz є віссю симетрії для цих матеріалів. Також вважаємо, що у площині контактної взаємодії $z = 0$ виконуються умови гладкого (без тертя) контакту пружних тіл. Розміри ділянки розшарування двох пружних півпросторів (рис. 1) невідомі і визначаються з розв'язку задачі. Параметри контактної взаємодії пружних тіл залежать від значення стискальних зусиль p , пружних властивостей обох трансверсально-ізотропних матеріалів півпросторів і геометричних параметрів виїмки.

Виразимо напружений стан у трансверсально-ізотропних півпросторах суперпозицією двох станів, перший з яких — стискання вздовж осі симетрії матеріалів Oz , тобто $\sigma_{zz} = -p$, а для визначення другого стану суперпозиції (збуреного стану) на поверхні півпростору $z = 0$ отримуємо відповідні граничні умови.

Розглядаючи задачу, припускаємо, що в разі деформування півпросторів форма виїмки описується неперервно-диференційованою функцією $f(x, y)$, яка задовольняє умови:

$$\frac{\partial f(x, y)}{\partial x_1} \ll 1, \quad \frac{\partial f(x, y)}{\partial x_2} \ll 1 \quad (x, y) \in S; \quad (3)$$

$$f(x, y) = 0, \frac{\partial f(x, y)}{\partial x_1} = 0, \frac{\partial f(x, y)}{\partial x_2} = 0 \quad (x, y) \in \partial S.$$

У формулах (3) S — поверхня виїмки. Із віддаленням від ділянки контакту виконуються умови на нескінченності для трансверсально-ізотропних півпросторів:

$$\sigma_{zz} \rightarrow -p, \quad \sigma_{xx}, \sigma_{xy}, \sigma_{xz}, \sigma_{yy}, \sigma_{yz} \rightarrow 0, \quad \text{якщо } z \rightarrow \pm\infty.$$

Основні рівняння і співвідношення. Статичні рівняння теорії пружності для трансверсально-ізотропного тіла у переміщеннях набувають вигляду [4, 11]:

$$\begin{aligned} & c_{11} \frac{\partial^2 u_x}{\partial x^2} + \frac{1}{2}(c_{11} - c_{12}) \frac{\partial^2 u_x}{\partial y^2} + c_{44} \frac{\partial^2 u_x}{\partial z^2} + \\ & + \frac{\partial}{\partial x} \left[\frac{1}{2}(c_{11} + c_{12}) \frac{\partial u_y}{\partial y} + (c_{13} + c_{44}) \frac{\partial u_z}{\partial z} \right] = 0; \\ & \frac{1}{2}(c_{11} - c_{12}) \frac{\partial^2 u_y}{\partial x^2} + c_{11} \frac{\partial^2 u_y}{\partial y^2} + c_{44} \frac{\partial^2 u_y}{\partial z^2} + \\ & + \frac{\partial}{\partial y} \left[\frac{1}{2}(c_{11} + c_{12}) \frac{\partial u_x}{\partial x} + (c_{13} + c_{44}) \frac{\partial u_z}{\partial z} \right] = 0; \\ & c_{44} \left(\frac{\partial^2 u_z}{\partial y^2} + \frac{\partial^2 u_z}{\partial x^2} \right) + c_{33} \frac{\partial^2 u_z}{\partial z^2} + (c_{13} + c_{44}) \frac{\partial}{\partial z} \left(\frac{\partial u_x}{\partial x} + \frac{\partial u_y}{\partial y} \right) = 0, \end{aligned} \quad (4)$$

де $c_{11}, c_{12}, c_{13}, c_{33}, c_{44}$ — незалежні пружні сталі трансверсально-ізотропного матеріалу.

Розв'язок системи рівнянь (4) [11] можна виразити через три потенціальні функції Φ_i ($i=1,2,3$):

$$\begin{aligned} u_x &= \partial\Phi_1/\partial x + \partial\Phi_2/\partial x + \partial\Phi_3/\partial y; \\ u_y &= \partial\Phi_1/\partial y + \partial\Phi_2/\partial y - \partial\Phi_3/\partial x; \\ u_z &= m_1\partial\Phi_1/\partial z + m_2\partial\Phi_2/\partial z, \end{aligned} \quad (5)$$

де Φ_1, Φ_2, Φ_3 — функції, що входять до формул (5), задовольняють рівняння

$$(\partial^2/\partial x^2 + \partial^2/\partial y^2 + v_j \partial^2/\partial z^2)\Phi_j = 0, \quad (6)$$

а також $v_3 = 2c_{44}/(c_{11} - c_{12})$; v_1, v_2 — корені квадратного рівняння:

$$c_{11}c_{44}v^2 - [c_{44}^2 + c_{33}c_{11} - (c_{13} + c_{44})^2]v + c_{33}c_{44} = 0; \quad (7)$$

$$m_j = \frac{c_{11}v_j - c_{44}}{c_{13} + c_{44}} = \frac{v_j(c_{13} + c_{44})}{c_{33} - v_j c_{44}} \quad (j=1,2). \quad (8)$$

Увівши позначення $z_j = zv_j^{-1/2}$ ($j=1,2,3$) з використанням виразів (6)–(8), легко встановити, що функції $\Phi_1(x,y,z_1), \Phi_2(x,y,z_2), \Phi_3(x,y,z_3)$ будуть гармонічними функціями у відповідній системі координат (x,y,z_i) .

Надалі скористаємось виразами

$$k_1 = m_1 = \frac{c_{11}v_1 + c_{44}}{c_{13} + c_{44}} - 1; \quad k_2 = m_2 = \frac{c_{11}v_2 + c_{44}}{c_{13} + c_{44}} - 1;$$

$$a_j = c_{44}(1 + m_j) \quad (j=1,2). \quad (9)$$

Метод розв’язання. Потенціальні функції $\Phi_i(x,y,z_i)$ у поданні (5) для збуреного стану візьмемо, використовуючи класичні потенціали, у вигляді

$$\Phi_i^{(k)}(x,y,z_i) = -\frac{\alpha_i^{*(k)}}{2\pi} \left(\iint_{S_1} \frac{h(\vec{\xi})d_\xi S}{\sqrt{(x-\xi_1)^2 + (y-\xi_2)^2 + z_i^2}} + \iint_{S_0} \frac{r(\vec{\xi})d_\xi S}{\sqrt{(x-\xi_1)^2 + (y-\xi_2)^2 + z_i^2}} \right), \quad (10)$$

де

$$h(\xi_1, \xi_2) = h_1(1 - \xi_1^2/a^2 - \xi_2^2/b^2)^{3/2}, \quad r(\xi_1, \xi_2) = -h_0(1 - \xi_1^2/a_0^2 - \xi_2^2/b_0^2)^{3/2};$$

S_1 і S_0 — еліптичні ділянки, значення індексу $k=1$ відповідає першому півпростору, значення $k=2$ — другому півпростору. Також покладемо функцію $\Phi_3^{(k)} \equiv 0$. Сталі $\alpha_i^{*(k)}$ у формулах (10) визначимо так: спочатку знайдемо значення $\alpha_j^{*(k)}$ ($j,k=1,2$) із системи рівнянь

$$\sum_{j=1}^2 \alpha_j^{*(k)} (c_{44}^{(k)} (1 + k_j^{(k)})) = 1; \quad \sum_{j=1}^2 \alpha_j^{*(k)} (c_{44}^{(k)} (1 + k_j^{(k)})) / \sqrt{v_j^{(k)}} = 0, \quad k=1, 2, \quad (11)$$

а потім

$$\alpha_j^{*(k)} = \alpha_j^{*(k)} / M^*, \quad \text{де } M^* = \sum_{j=1}^2 \alpha_j^{*(1)} k_j^{(1)} / \sqrt{v_j^{(1)}} + \sum_{j=1}^2 \alpha_j^{*(2)} k_j^{(2)} / \sqrt{v_j^{(2)}}.$$

У наведених виразах використано позначення (9). Відзначимо, що потенціали вигляду (10) використовувались у дослідженні контактної взаємодії двох пружних ізотропних півпросторів, один з яких містив виїмку еліптичного перерізу [30]. За такого вибору $\alpha_j^{*(k)}$ задовольняються граничні умови по дотичних напруженнях уздовж всієї поверхні поділу, по переміщеннях, а також справджується рівність нормальних напружень поза виїмкою. Невідомими залишаються a, b — значення півосей ділянки контакту еліптичної форми; h_1 — максимальна висота проміжку (зазору) в результаті контакту двох трансверсально-ізотропних пружних півпросторів, один з яких містить виїмку. Значення цих параметрів визначимо з розв’язку контактної задачі.

За допомогою потенціальних функцій $\Phi_i^{(k)}(x,y,z_i)$ згідно з виразами (10), (11), задовольняючи граничні умови, що залишилися, отримуємо інтегро-диференціальне рівняння

$$\begin{aligned} & \left(\frac{\partial^2}{\partial x^2} + \frac{\partial^2}{\partial y^2} \right) \iint_{S_1} \frac{h(\bar{\xi}) d_{\xi} S}{\sqrt{(x - \xi_1)^2 + (y - \xi_2)^2 + z_i^2}} = \\ & = - \left(\frac{\partial^2}{\partial x^2} + \frac{\partial^2}{\partial y^2} \right) \iint_{S_0} \frac{r(\bar{\xi}) d_{\xi} S}{\sqrt{(x - \xi_1)^2 + (y - \xi_2)^2 + z_i^2}} + 2\pi M^* p, \quad (x, y) \in S_1; \quad (12) \\ & M^* = \sum_{j=1}^2 \alpha_j^{*(1)} k_j^{(1)} / \sqrt{v_j^{(1)}} + \sum_{j=1}^2 \alpha_j^{*(2)} k_j^{(2)} / \sqrt{v_j^{(2)}}, \end{aligned}$$

де

$$\begin{aligned} h(\xi_1, \xi_2) &= h_1 (1 - \xi_1^2 / a^2 - \xi_2^2 / b^2)^{3/2}, \\ r(\xi_1, \xi_2) &= -h_0 (1 - \xi_1^2 / a_0^2 - \xi_2^2 / b_0^2)^{3/2}. \end{aligned}$$

Після проведення диференціювання у (12) скористаємося значеннями двовимірних інтегралів по еліптичній ділянці [30]. У результаті маємо

$$\frac{1}{4\pi} \left(\frac{\partial^2}{\partial x^2} + \frac{\partial^2}{\partial y^2} \right) \iint_{S_1} \frac{h(\xi) d_{\xi} S}{|x - \xi|} = \alpha_0 + A_0 x_1^2 + B_0 x_2^2, \quad x \in S, \quad (13)$$

де

$$d_{\xi} S = d\xi_1 d\xi_2; \quad k_0 = 3a_0 r_0 / 4e_0^2 b_0^4 f_0; \quad r_0 = h_0;$$

$$A_0 = k_0 [E(e_0)(1 + e_0^2) / f_0 - K(e_0)]; \quad B_0 = k_0 [(2e_0^2 - 1)E(e_0) + f_0 K(e_0)];$$

$$\alpha_0 = M^* p - k_0 e_0^2 b_0^2 E(e_0); \quad f_0 = 1 - e_0^2; \quad e_0 = \sqrt{1 - a_0^2 / b_0^2}.$$

У наведених виразах $K(e_0)$, $E(e_0)$ є повними еліптичними інтегралами першого та другого роду.

Припускаючи, що ділянка контакту S_1 у формулах (13) має форму еліпса з невідомими поки півосями a, b , розшукуємо висоту зазору між контактуючими тілами у вигляді $h(x) = \beta(1 - x_1^2 / a^2 - x_2^2 / b^2)^{3/2}$. Скориставшись значеннями інтегралів по еліптичній ділянці [31], отримуємо

$$\alpha + Ax_1^2 + Bx_2^2 = a_0 + A_0 x_1^2 + B_0 x_2^2,$$

де

$$\alpha = -ke^2 b^2 E(e), \quad A = k[E(e)(1 + e^2) / f - K(e)], \quad B = k[(2e^2 - 1)E(e) + fK(e)],$$

$$f = 1 - e^2, \quad k = 3\alpha h / (4e^2 b^4 f), \quad e = \sqrt{1 - a^2 / b^2}.$$

Прирівнюючи коефіцієнти за однакових структурних складових, знаходимо

$$a = a_0 \sqrt{1 - N_0}; \quad b = b_0 \sqrt{1 - N_0}; \quad h = r_0 [1 - N_0]^{3/2};$$

$$N_0 = 2M^* p b_0 \sqrt{1 - e_0^2} / (r_0 3E(e_0)). \quad (14)$$

Відзначимо, що із формул (14) можна визначити значення стискальних зусиль p , за якого виїмка між пружними тілами повністю заповнюється матеріалом. Видно, що при $N_0 = 1$ значення півосей a, b та максимальної висоти виїмки h_1 дорівнюють нулю. Отже, якщо $p \geq p^* = \frac{r_0 3E(e_0)}{2M^* b_0 \sqrt{1-e_0^2}}$, виїмка еліптичного перерізу у пружному півпросторі повністю зникає (заповнюється матеріалом).

Як частинний випадок зі знайдених аналітичних виразів для виїмки еліптичного перерізу випливають результати для виїмки вісесиметричної форми.

Таким чином, з виразів (14) за відомими розмірами початкової виїмки (параметри a_0, b_0 і h_0) та значення стискальних зусиль p , десяти незалежних пружних сталих двох трансверсально-ізотропних матеріалів півпросторів (входять через величину M^*) знаходимо значення півосей ділянки контакту a, b і максимальну висоту виїмки.

Перетворимо у виразі M^* кожний доданок, що залежить від властивостей трансверсально-ізотропного матеріалу відповідного півпростору. Після елементарних операцій дістаємо

$$\sum_{j=1}^2 \alpha_j^* k_j / \sqrt{v_j} = \frac{1}{(\sqrt{v_1} - \sqrt{v_2})} \left[\frac{-m_2}{c_{44}(1+m_2)} + \frac{m_1}{c_{44}(1+m_1)} \right] = \frac{c_{11} (v_1^{1/2} + v_2^{1/2})(c_{13} + c_{44})}{c_{44} (c_{11} v_1 + c_{13})(c_{11} v_2 + c_{13})}. \quad (15)$$

У результаті подальших перетворень виразу (15) (з використанням теореми Вієта для коренів квадратного рівняння (7)) маємо

$$\sum_{j=1}^2 \alpha_j^* k_j / \sqrt{v_j} = \frac{\sqrt{c_{11}}}{(c_{11}c_{33} - c_{13}^2)\sqrt{c_{44}}} \left[\sqrt{c_{11}c_{33} - c_{13}^2 - 2c_{44}c_{13} + 2c_{44}\sqrt{c_{11}c_{33}}} \right]. \quad (16)$$

Отриманий вираз (16) дозволяє знаходити шукане значення безпосереднім підставленням у нього пружних сталих трансверсально-ізотропного матеріалу, не знайшовши заздалегідь коренів квадратного рівняння (7).

У випадку абсолютно жорсткої основи з еліптичною виїмкою маємо

$$M^* \rightarrow \sum_{j=1}^2 \alpha_j^{*(1)} k_j^{(1)} / \sqrt{v_j^{(1)}}. \quad (17)$$

У виразі (17) залишився тільки перший доданок з двох складових. Під час наступного граничного переходу від трансверсально-ізотропного до пружного ізотропного матеріалу півпростору отримуємо

$$c_{11} = \lambda + 2\mu; c_{13} = \lambda; c_{44} = \mu; v_1 = v_2 = 1;$$

$$A^{Iso} \rightarrow \frac{\lambda + 2\mu}{2\mu(\lambda + \mu)} = \frac{1 - \nu}{\mu}.$$

За допомогою перетворень можна показати, що з виразів (12), (14) випливають результати роботи [30] для контактної взаємодії двох пружних

ізотропних півпросторів (один — з виїмкою еліптичного перерізу) як частинний випадок.

Розглянемо частинний випадок попередньої задачі — виїмку кругового перерізу. Спрямувавши ексцентриситет еліпса до нуля, отримуємо, що $a_0 = b_0$, $a = b$, а зі знайдених виразів (15) маємо

$$N_0 = 4M^* p b_0 / (r_0 3\pi); \quad b = b_0 \sqrt{1 - \frac{4p b_0 M^*}{3\pi r_0}}; \quad h_1 = h_0 \left(1 - \frac{4p b_0 M^*}{3\pi r_0}\right)^{3/2}, \quad (18)$$

$$\text{де } M^* = \sum_{j=1}^2 \alpha_j^{*(1)} k_j^{(1)} / \sqrt{v_j^{(1)}} + \sum_{j=1}^2 \alpha_j^{*(2)} k_j^{(2)} / \sqrt{v_j^{(2)}}.$$

Із виразів (18) за відомими розмірами початкової вісесиметричної виїмки (параметри b і h_0), значеннями стискальних зусиль p , десяти незалежних пружних сталей для двох трансверсально-ізотропних пружних матеріалів (входять через величину M^*) визначаємо радіус контакту a і максимальну висоту зазору h_1 (після контактної взаємодії). Також з рівності нулю виразу a знаходимо значення сили стиснення $p^* = \frac{3\pi h_0}{4bM^*}$, за якого виїмка у півпросторі повністю заповнюється матеріалом. Отже, під час стиснення $p \geq p^*$ приповерхнева виїмка в результаті контактної взаємодії повністю зникає.

Відзначимо, що під час розгляду частинного випадку задачі — випадку приповерхневої виїмки кругового перерізу, з'являється можливість використання альтернативного алгоритму розв'язання задачі, пов'язаного із застосуванням парних інтегральних рівнянь (алгоритм 2 у праці [2]).

Аналіз результатів числових досліджень. На рис. 2, 3 зображено залежності радіуса і висоти вісесиметричного зазору (частинного випадку зазору еліптичного перерізу) між пружними трансверсально-ізотропними півпросторами від діючих навантажень. У розрахунках використано значення пружних сталей із праці [13], наведені у таблиці, де номер матеріалу відповідає номеру кривої на рис. 2, 3.

Властивості матеріалів

Номер матеріалу	Матеріал	c_{11} , ГПа	c_{33} , ГПа	c_{44} , ГПа	c_{12} , ГПа	c_{13} , ГПа
1	Be	292,3	336,4	162,5	26,7	14,0
2	Co	307,0	358,1	78,3	165,0	103,0
3	Hf	181,1	196,9	55,7	77,2	66,1
4	ZnO	209,7	210,9	42,5	121,1	105,1
5	Zr	143,4	164,8	32,0	72,8	65,3

На рисунках використано позначення p_1^* , яке обчислювалось для матеріалу 1 з наведеної таблиці за допомогою виразу $p^* = 4a_0 N^* p / (3\pi r_0)$. Показано зміну радіуса і висоти зазору за навантаження, які залежать також від десяти пружних сталей двох трансверсально-ізотропних матеріалів (реалізується за допомогою величини N^*).

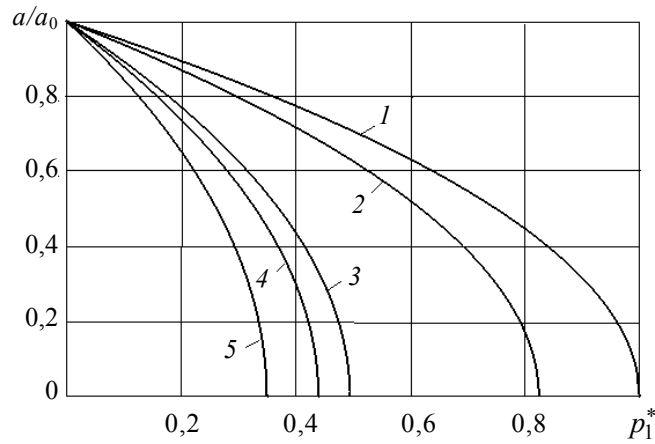


Рис. 2. Зміна радіуса виїмки за навантаження

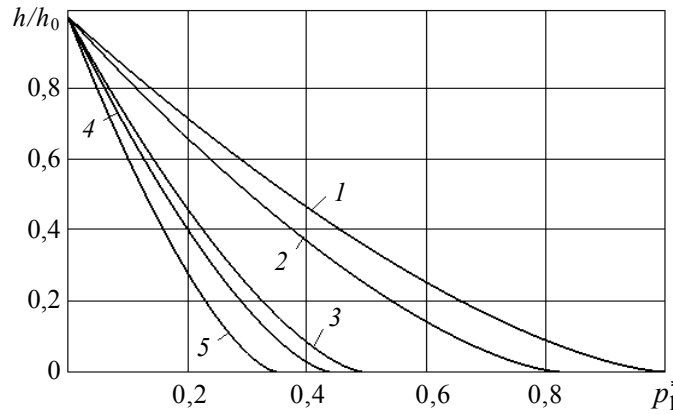


Рис. 3. Зміна висоти виїмки за навантаження

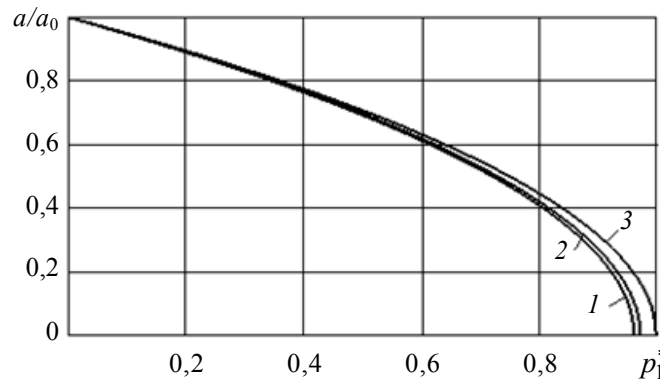


Рис. 4. Зміна розмірів перерізу еліптичної виїмки за навантаження

Виїмка повністю заповнюється матеріалом, якщо $p = p^* = \frac{3\pi h_0}{4a_0 N^*}$. Для

значень навантажень $p < p^*$ утворюється новий зазор. Для розрахунків пружні властивості обох півпросторів вибирались однаковими (відповідно до наведеного номера у таблиці).

Зміну геометричних параметрів зазору для еліптичної у перерізі виїмки за навантаження зображено на рис. 4, 5, на яких лінії 1, 2, 3 відповідають

значенням ексцентриситету еліпса $e = 0,1; 0,2; 0,4$. Використано позначення $p^{*(0,4)}$, яке відповідало значенню навантажень, що закривають виїмку, якщо $e = 0,4$.

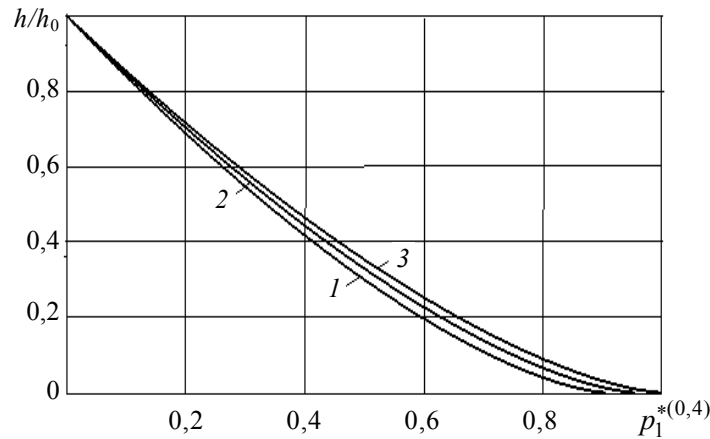


Рис. 5. Зміна висоти еліптичної виїмки за навантаження

ВИСНОВОК

У роботі за допомогою математичної моделі отримано аналітичний розв'язок задачі про контактну взаємодію складної системи, що складається з двох трансверсально-ізотропних пружних півпросторів (за наявності похилої приповерхневої виїмки еліптичного перерізу в одному з них), під час стискування. Виконано числові розрахунки, досліджено вплив геометричних розмірів виїмки та властивостей пружних трансверсально-ізотропних матеріалів півпросторів на параметри контактної взаємодії.

ЛІТЕРАТУРА

1. В.С. Кирилюк, О.І. Левчук, О.В. Гавриленко, та М.Б. Вітер, “Моделювання контактної взаємодії нагрітого плоского жорсткого еліптичного штампу з трансверсально-ізотропним півпростором”, *Системні дослідження та інформаційні технології*, № 3, с. 138–148, 2020. doi: 10.20535/SRIT.2308-8893.2020.3.10.
2. В.С. Кирилюк и О.И. Левчук, “Моделирование контактного взаимодействия пьезоэлектрического полупространства и упругой изотропной основы с приповерхностной выемкой кругового сечения”, *Системні дослідження та інформаційні технології*, № 4, с.120–132, 2016.
3. В.С. Кирилюк и О.И. Левчук, “Моделювання контактної взаємодії двох трансверсально-ізотропних пружних півпросторів за наявності жорсткого дископодібного включення між ними і тиску на ділянці розшарування”, *Системні дослідження та інформаційні технології*, № 1, с.107–119, 2020. doi: 10.20535/SRIT.2308-8893.2020.1.10.
4. Ю.Н. Подильчук, *Граничные задачи статики упругих тел*. Киев: Наук. думка, 1984, 304 с.
5. Ю.Н. Подильчук, “Точные аналитические решения пространственных граничных задач статики трансверсально-изотропного тела канонической формы (обзор)”, *Прикл. механика*, **33**, № 10, с. 3–30, 1997.

6. F.M. Borodich, B.A. Galanov, L.M. Keer, and M.M. Suarez-Alvarez, “The JKR-type adhesive contact problems for transversely isotropic elastic solids”, *Mechanics of Materials*, **75**, pp. 34–44, 2014.
7. Y.S. Chai and I.I. Argatov, “Local tangential contact of elastically similar, transversely isotropic elastic bodies”, *Meccanica*, **53**, no. 11-12, pp. 3137–3143, 2018.
8. W.Q. Chen, J. Zhu, and X.Y. Li, “General solutions for elasticity of transversely isotropic materials with thermal and other effects: A review”, *J. Thermal Stresses*, **42**, no. 1, pp. 90–106, 2019.
9. L. Dai, W. Guo, and X. Wang, “Stress concentration at an elliptic hole in transversely isotropic piezoelectric solids”, *Int. J. Solids and Struct.*, **43**, no. 6, pp. 1818–1831, 2006.
10. D.B. Davtyan and D.A. Pozharskii, “Action of an elliptic punch on a transversally isotropic half-space”, *Mechanics of Solids*, **49**, no. 5, pp. 578–586, 2014.
11. H.A. Elliott and N.F. Mott, “Three-dimensional stress distributions in hexagonal aeolotropic crystals”, *Mathematical Proceedings of the Cambridge Philosophical Society*, **44**, no. 4, pp. 522–533, 1948.
12. V.I. Fabrikant, “Contact problem for an arbitrarily oriented transversely isotropic half-space”, *Acta Mechanica*, **228**, no. 4, pp. 1541–1560, 2017.
13. L.B. Freund and S. Suresh, *Thin Film Materials*. Cambridge: Cambridge University Press, 2003, 802 p.
14. G.M.L. Gladwell, “On Inclusions at a Bi-Material Elastic Interface”, *Journal of Elasticity*, **54**, no. 1, pp. 27–41, 1999.
15. P.F. Hou, W.H. Zhang, and J.-Y. Chen, “Three-dimensional exact solutions of homogeneous transversely isotropic coated structures under spherical contact”, *Int. J. Solids Structures*, **161**, pp. 136–173, 2019.
16. S.A. Kaloerov and A.A. Samodurov, “Problem of Electromagnetoviscoelasticity for Multiply Connected Plates”, *International Applied Mechanics*, **51**, no. 6, pp. 623–639, 2015.
17. S.A. Kaloerov, “Determining the intensity factors for stresses, electric-flux density, and electric-field strength in multiply connected electroelastic anisotropic media”, *Int. Appl. Mech.*, **43**, no. 6, pp. 631–637, 2007.
18. V.S. Kirilyuk and O.I. Levchuk, “On stressed state of transversely isotropic medium with an arbitrary orientated spheroidal void or penny-shaped crack under internal pressure”, *Strength of Materials*, **37**, no. 5, pp. 480–488, 2005.
19. V.S. Kirilyuk, “Elastic state of a transversely isotropic piezoelectric body with an arbitrarily oriented elliptic crack”, *Int. Appl. Mech.*, **44**, no. 2, pp. 150–157, 2008.
20. V.S. Kirilyuk, “Stress state of a piezoceramic body with a plane crack opened by a rigid inclusion”, *Int. Appl. Mech.*, **44**, no. 7, pp. 757–768, 2008.
21. A. Kotousov, L.B. Neto, and A. Khanna, “On a rigid inclusion pressed between two elastic half spaces”, *Mechanics of Materials*, **68**, no. 1, pp. 38–44, 2014.
22. R. Kumar and V. Gupta, “Green’s function for transversely isotropic thermoelastic diffusion bimetals”, *Journal of Thermal Stresses*, **37**, no. 10, pp. 1201–1229, 2014.
23. F. Marmo, F. Toraldo, and L. Rosati, “Analytical formulas and design charts for transversely isotropic half-spaces subject to linearly distributed pressures”, *Meccanica*, **51**, no. 11, pp. 2909–2928, 2016.
24. Yu.N. Podil’chuk, “Representation of the general solution of statics equations of the electroelasticity of a transversally isotropic piezoceramic body in terms of harmonic functions”, *International Applied Mechanics*, **34**, no. 7, pp. 623–628, 1998.
25. A.P.S. Selvadurai, “A unilateral contact problem for a rigid disc inclusion embedded between two dissimilar elastic half-spaces”, *Q. J. Mech. Appl. Math.*, no. 3, pp. 493–509, 1994.

26. Yu.V. Tokovyy and C.C. Ma, “Three-Dimensional Elastic Analysis of Transversely-Isotropic Composites”, *Journal of Mechanics*, **33**, no. 6, pp. 821–830, 2018.
27. Y.J. Wang, C.F. Gao, and H.P. Song, “The anti-plane solution for the edge cracks originating from an arbitrary hole in a piezoelectric material”, *Mechanics Research Communications*, vol. 65, pp. 17–23, 2015.
28. Z.K. Wang and B.L. Zheng, “The general solution of three-dimension problems in piezoelectric media”, *Int. J. Solids Structures*, **32**, no. 1, pp. 105–115, 1995.
29. M.H. Zhao, Y.B. Pan, C.Y. Fan, and G.T. Xu, “Extended displacement discontinuity method for analysis of cracks in 2D piezoelectric semiconductors”, *International Journal of Solids and Structures*, vol. 94–95, pp. 50–59, 2016.
30. Г.С. Кіт та Р.М. Мартиняк, “Просторові контактні задачі для пружного півпростору і жорсткої основи з поверхневими виїмками”, *Мат. методи та фіз.-мех. поля*, **42**, № 6, с. 7–11, 1999.
31. М.В. Хай, *Двумерные интегральные уравнения ньютоновского потенциала и их приложения*. Киев: Наук. думка, 1993, 256 с.

Надійшла 31.05.2021

INFORMATION ON THE ARTICLE

Vitaly S. Kirilyuk, ORCID: 0000-0002-8513-0378, S.P. Timoshenko Institute of mechanics of NAS of Ukraine, e-mail: kirilyuk_v@ukr.net.

Olga I. Levchuk, ORCID: 0000-0002-6514-6225, S.P. Timoshenko Institute of mechanics of NAS of Ukraine, e-mail: 2013levchuk@gmail.com

Valeriy V. Gavrilenko, ORCID: 0000-0001-9682-4204, National Transport University, Ukraine, e-mail: v_gavr@ukr.net

МАТЕМАТИЧЕСКОЕ МОДЕЛИРОВАНИЕ КОНТАКТНОГО ВЗАИМОДЕЙСТВИЯ ДВУХ УПРУГИХ ТРАНСВЕРСАЛЬНО-ИЗОТРОПНЫХ ПОЛУПРОСТРАНСТВ, ОДНО ИЗ КОТОРЫХ СОДЕРЖИТ ПРИПОВЕРХНОСТНУЮ ВЫЕМКУ ЭЛЛИПТИЧЕСКОГО СЕЧЕНИЯ / В.С. Кирилюк, О.И. Левчук, В.В. Гавриленко

Аннотация. На основе математической модели рассмотрена задача о сжатия двух упругих трансверсально-изотропных полупространств, одно из которых содержит пологую приповерхностную выемку эллиптического сечения. Решение задачи получено с помощью представления Эллиота для трансверсально-изотропного тела через гармонические функции, классических гармонических потенциалов и сведения краевой задачи к рассмотрению интегродифференциального уравнения с неизвестной областью интегрирования. Как частный случай из найденных аналитических выражений вытекают основные параметры контакта трансверсально-изотропных полупространств при наличии в одном из них выемки осесимметричной формы, а также параметры контактного взаимодействия двух упругих изотропных полупространств, одно из которых содержит выемку эллиптического сечения. Получены численные результаты, изучено влияние упругих свойств полупространств, геометрических параметров выемки и погрузки на контактное взаимодействие и закрытия зазора между телами.

Ключевые слова: математическое моделирование, трансверсально-изотропные полупространства, приповерхностная выемка, эллиптического сечения, параметры контактного взаимодействия.

MATHEMATICAL MODELING OF THE CONTACT INTERACTION OF TWO ELASTIC TRANSVERSELY ISOTROPIC HALF-SPACES, ONE OF WHICH CONTAINS A NEAR-SURFACE GROOVE OF AN ELLIPTICAL SECTION / V.S. Kirilyuk, O.I. Levchuk, V.V. Gavrilenko

Abstract. On the basis of a mathematical model, the problem of compression of two elastic transversely isotropic half-spaces, one of which contains a shallow near-surface groove of an elliptical section, is considered. The solution to the problem is obtained using the Elliott representation for a transversely isotropic body in terms of harmonic functions, classical harmonic potentials and reducing the boundary value problem to considering an integro-differential equation with an unknown domain of integration. As a special case, the obtained analytical expressions yield the basic parameters of the contact of transversely isotropic half-spaces in the presence of an axisymmetric groove in one of them, as well as the parameters of the contact interaction of two elastic isotropic half-spaces, one of which contains an elliptical cross-section groove. Numerical results are obtained, the influence of elastic properties of half-spaces, geometrical parameters of groove and loading on contact interaction and closing of the gap between bodies is studied.

Keywords: mathematical modeling, transversely isotropic half-space, near-surface groove, elliptical section, parameters of contact interaction.

REFERENCES

1. V.S. Kirilyuk, O.I. Levchuk, O.V. Gavrilenko, and M.B. Viter, "Simulation of contact interaction of a heated flat rigid elliptical stamp with a transversely isotropic half-space", *System research and information technologies*, no. 3, pp.138–148, 2020. doi: 10.20535/SRIT.2308-8893.2020.3.10.
2. V.S. Kirilyuk and O.I. Levchuk, "Modeling of contact interaction of piezoelectric half-space and elastic isotropic base with surface groove of circle section", *System research and information technologies*, no. 4, pp. 120–132, 2016.
3. V.S. Kirilyuk and O.I. Levchuk, "Simulation of the contact interaction of two transversely isotropic spring half-spaces for the presence of a hard disk-like inclusion between them and pressure on the stratification area", *System research and information technologies*, no. 1, pp. 107–119, 2020. doi: 10.20535/SRIT.2308-8893.2020.1.10.
4. Yu.N. Podil'chuk, *Boundary value problems of statics of elastic bodies*. Kyiv: Nauk. dumka, 1984, 304 p.
5. Yu.N. Podil'chuk, "Exact analytical solutions of spatial boundary value problems of statics of a transversely isotropic body of canonical form (Review)", *Int. Appl. Mech.*, **33**, no. 10, pp. 3–30, 1997.
6. F.M. Borodich, B.A. Galanov, L.M. Keer, and M.M. Suarez-Alvarez, "The JKR-type adhesive contact problems for transversely isotropic elastic solids", *Mechanics of Materials*, **75**, pp. 34–44, 2014.
7. Y.S. Chai and I.I. Argatov, "Local tangential contact of elastically similar, transversely isotropic elastic bodies", *Meccanica*, **53**, no. 11-12, pp. 3137–3143, 2018.
8. W.Q. Chen, J. Zhu, and X.Y. Li, "General solutions for elasticity of transversely isotropic materials with thermal and other effects: A review", *J. Thermal Stresses*, **42**, no. 1, pp. 90–106, 2019.
9. L. Dai, W. Guo, and X. Wang, "Stress concentration at an elliptic hole in transversely isotropic piezoelectric solids", *Int. J. Solids and Struct.*, **43**, no. 6, pp. 1818–1831, 2006.
10. D.B. Davtyan and D.A. Pozharskii, "Action of an elliptic punch on a transversally isotropic half-space", *Mechanics of Solids*, **49**, no. 5, pp. 578–586, 2014.
11. H.A. Elliott and N.F. Mott, "Three-dimensional stress distributions in hexagonal aeolotropic crystals", *Mathematical Proceedings of the Cambridge Philosophical Society*, **44**, no. 4, pp. 522–533, 1948.
12. V.I. Fabrikant, "Contact problem for an arbitrarily oriented transversely isotropic half-space", *Acta Mechanica*, **228**, no. 4, pp. 1541–1560, 2017.
13. L.B. Freund and S. Suresh, *Thin Film Materials*. Cambridge: Cambridge University Press, 2003, 802 p.

14. G.M.L. Gladwell, "On Inclusions at a Bi-Material Elastic Interface", *Journal of Elasticity*, **54**, no. 1, pp. 27–41, 1999.
15. P.F. Hou, W.H. Zhang, and J.-Y. Chen, "Three-dimensional exact solutions of homogeneous transversely isotropic coated structures under spherical contact", *Int. J. Solids Structures*, **161**, pp. 136–173, 2019.
16. S.A. Kaloerov and A.A. Samodurov, "Problem of Electromagnetoviscoelasticity for Multiply Connected Plates", *International Applied Mechanics*, **51**, no. 6, pp. 623–639, 2015.
17. S.A. Kaloerov, "Determining the intensity factors for stresses, electric-flux density, and electric-field strength in multiply connected electroelastic anisotropic media", *Int. Appl. Mech.*, **43**, no. 6, pp. 631–637, 2007.
18. V.S. Kirilyuk and O.I. Levchuk, "On stressed state of transversely isotropic medium with an arbitrarily orientated spheroidal void or penny-shaped crack under internal pressure", *Strength of Materials*, **37**, no. 5, pp. 480–488, 2005.
19. V.S. Kirilyuk, "Elastic state of a transversely isotropic piezoelectric body with an arbitrarily oriented elliptic crack", *Int. Appl. Mech.*, **44**, no. 2, pp. 150–157, 2008.
20. V.S. Kirilyuk, "Stress state of a piezoceramic body with a plane crack opened by a rigid inclusion", *Int. Appl. Mech.*, **44**, no. 7, pp. 757–768, 2008.
21. A. Kotousov, L.B. Neto, and A. Khanna, "On a rigid inclusion pressed between two elastic half spaces", *Mechanics of Materials*, **68**, no. 1, pp. 38–44, 2014.
22. R. Kumar and V. Gupta, "Green's function for transversely isotropic thermoelastic diffusion bimaterials", *Journal of Thermal Stresses*, **37**, no. 10, pp. 1201–1229, 2014.
23. F. Marmo, F. Toraldo, and L. Rosati, "Analytical formulas and design charts for transversely isotropic half-spaces subject to linearly distributed pressures", *Meccanica*, **51**, no. 11, pp. 2909–2928, 2016.
24. Yu.N. Podil'chuk, "Representation of the general solution of statics equations of the electroelasticity of a transversally isotropic piezoceramic body in terms of harmonic functions", *International Applied Mechanics*, **34**, no. 7, pp. 623–628, 1998.
25. A.P.S. Selvadurai, "A unilateral contact problem for a rigid disc inclusion embedded between two dissimilar elastic half-spaces", *Q. J. Mech. Appl. Math.*, no. 3, pp. 493–509, 1994.
26. Yu.V. Tokovyy and C.C. Ma, "Three-Dimensional Elastic Analysis of Transversely-Isotropic Composites", *Journal of Mechanics*, **33**, no. 6, pp. 821–830, 2018.
27. Y.J. Wang, C.F. Gao, and H.P. Song, "The anti-plane solution for the edge cracks originating from an arbitrary hole in a piezoelectric material", *Mechanics Research Communications*, **65**, pp. 17–23, 2015.
28. Z.K. Wang and B.L. Zheng, "The general solution of three-dimension problems in piezoelectric media", *Int. J. Solids Structures*, **32**, no. 1, pp. 105–115, 1995.
29. M.H. Zhao, Y.B. Pan, C.Y. Fan, and G.T. Xu, "Extended displacement discontinuity method for analysis of cracks in 2D piezoelectric semiconductors", *International Journal of Solids and Structures*, vol. 94–95, pp. 50–59, 2016.
30. G.S. Keith and R.M. Martyniak, "Spatial contact problems for an elastic half-space and a rigid base with surface recesses", *Math. methods and physical and mechanical fields*, **42**, no. 6, pp. 7–11, 1999.
31. M.V. Hai, Two-dimensional integral equations of Newtonian potential and their applications. Kiev: Naukova dumka, 1993, 256 p.